

Udnyttelse af geofysikdata i hydrologisk modellering

Torben O. Sonnenborg

Xin He

Flemming Jørgensen

Jens Christian Refsgaard

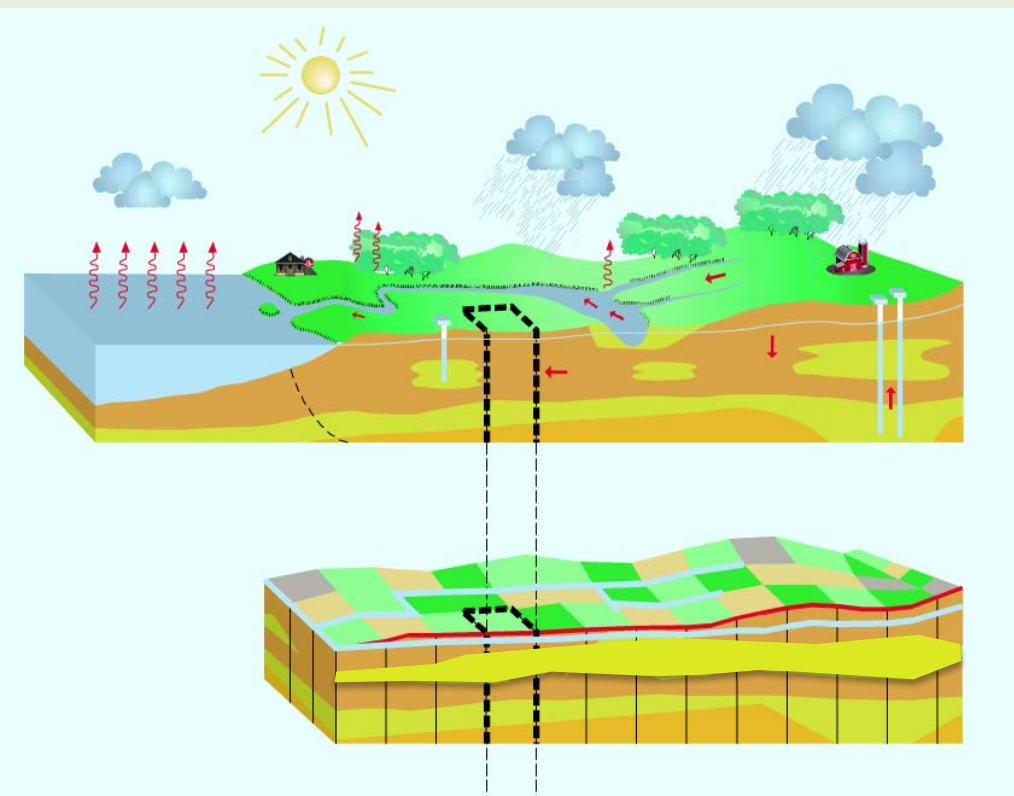
Geological Survey of Denmark and Greenland
Ministry of Climate, Energy and Building

Indhold

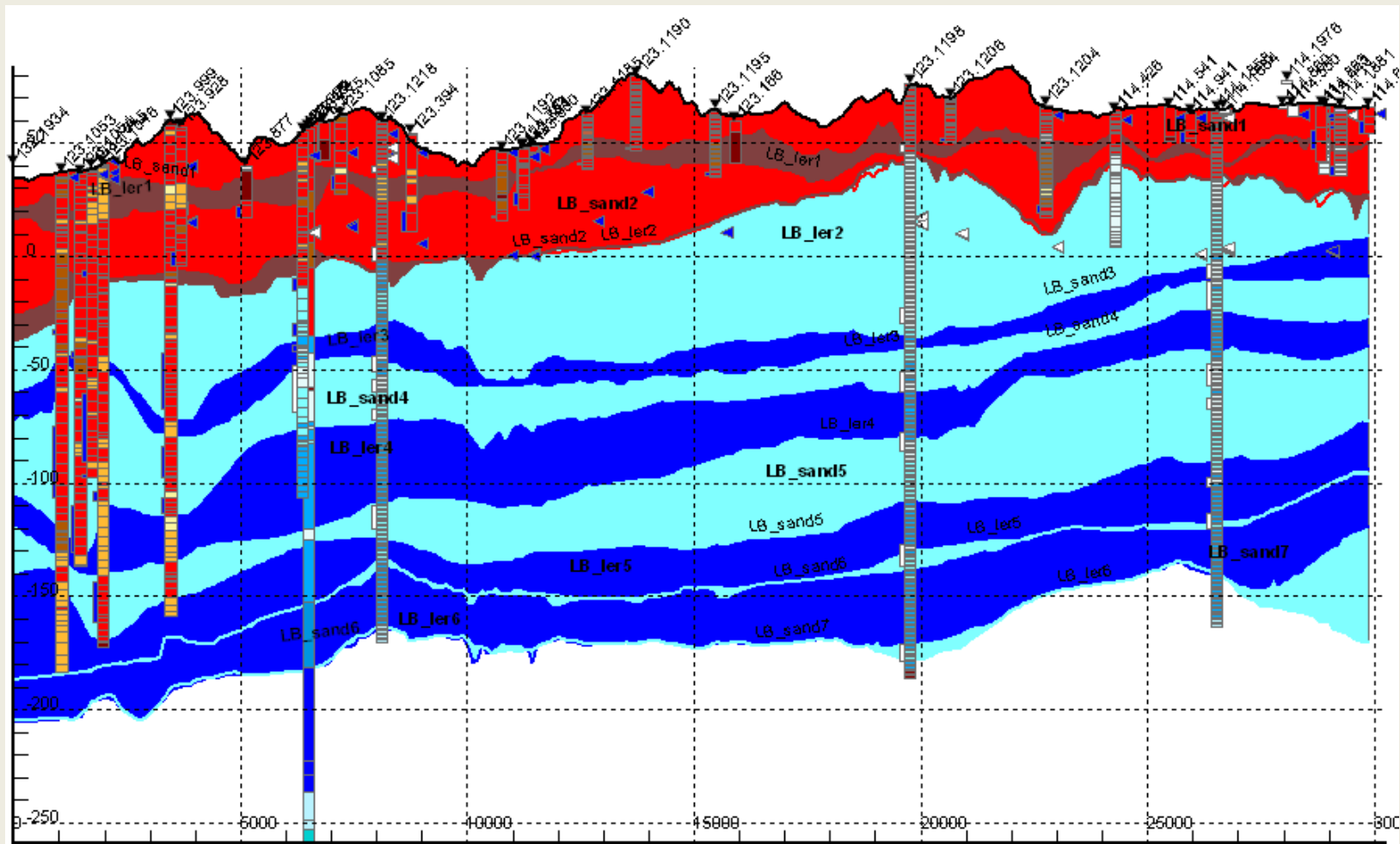
- Traditionel modellering
- Geofysiske data
- Geofysik: Mere info. om heterogenitet
 - NICA, KOMPLEKS, HYGEM
- Voxelmodellering
 - Geofysik → geologisk enhed → K-værdi
- Direkte bestemmelse af hydraulisk ledn.
 - Geofysik → K-værdi
- Konklusion

Geologisk model + Grundvandsmodel

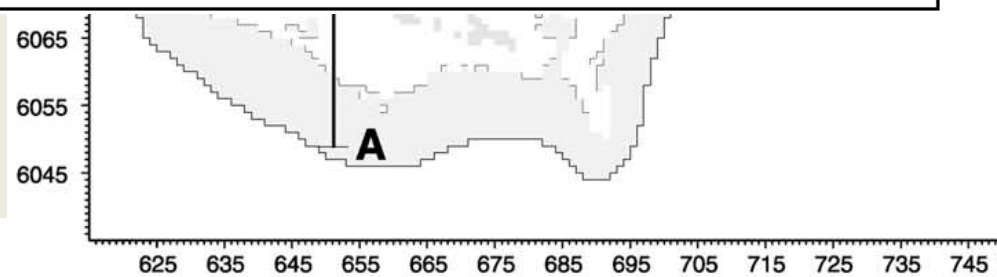
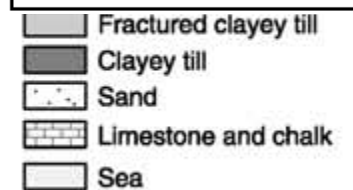
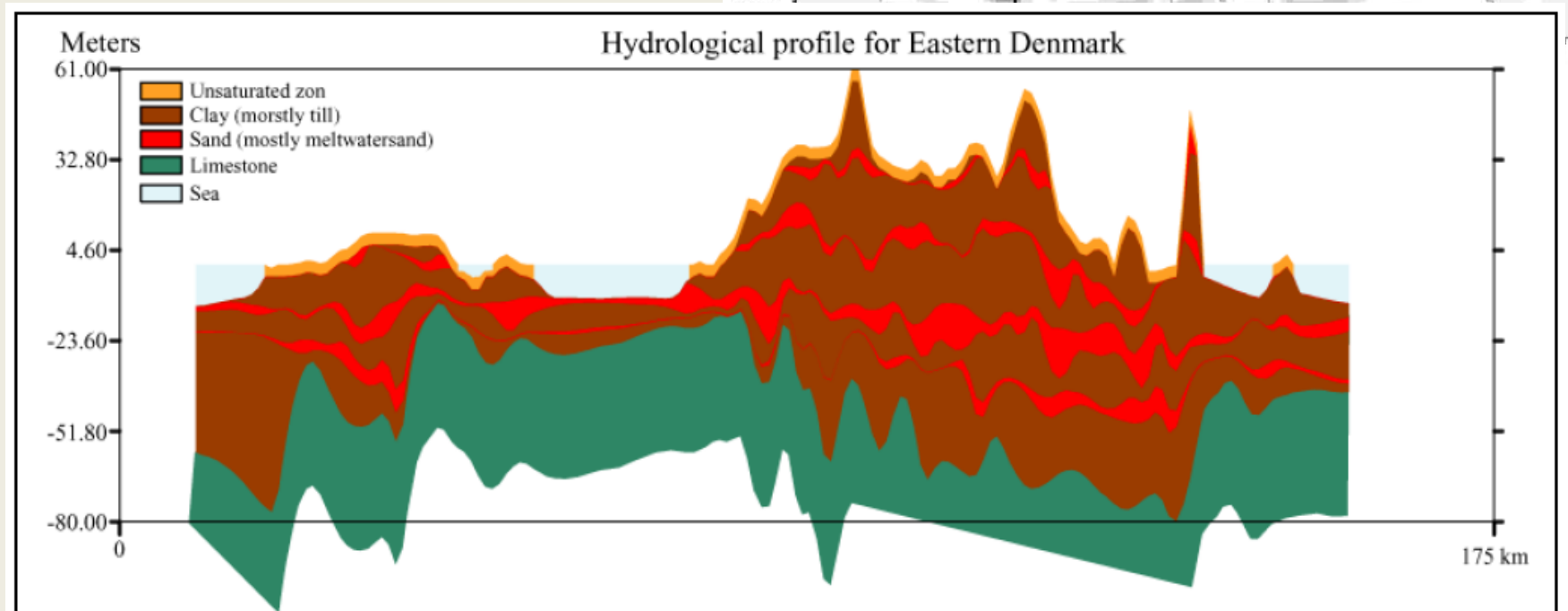
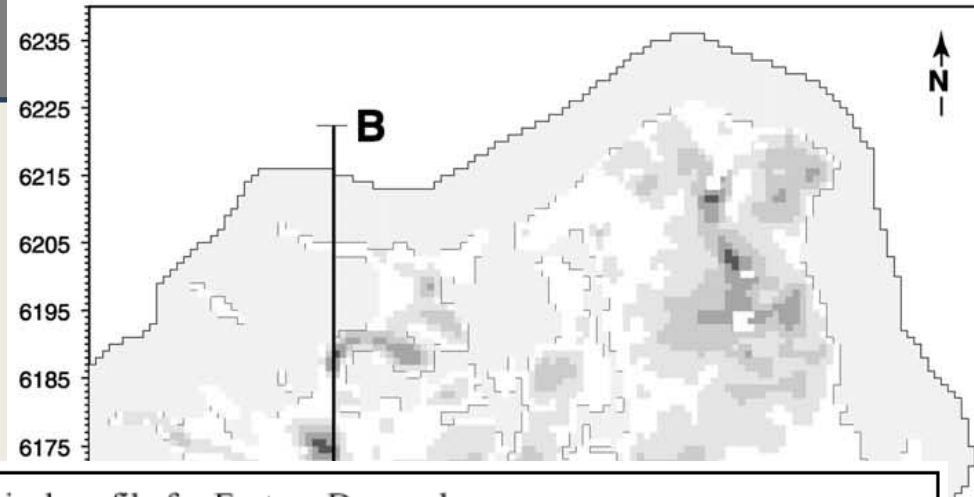
1. Geologisk model
2. Beregnings-
elementer
3. Grundvands-
model



Traditionel tolkning: Lagmodel



DK-model

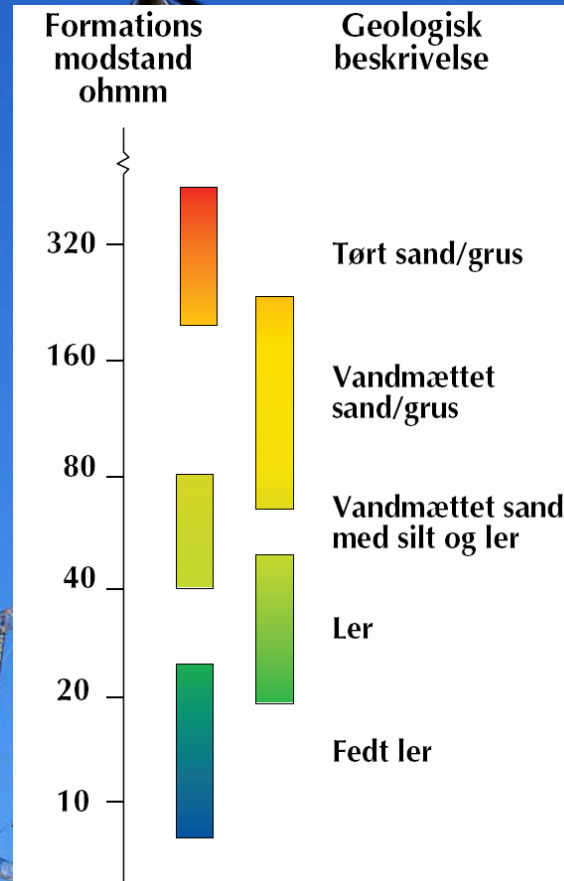


Geofysiske data i grundvandskortlægningen

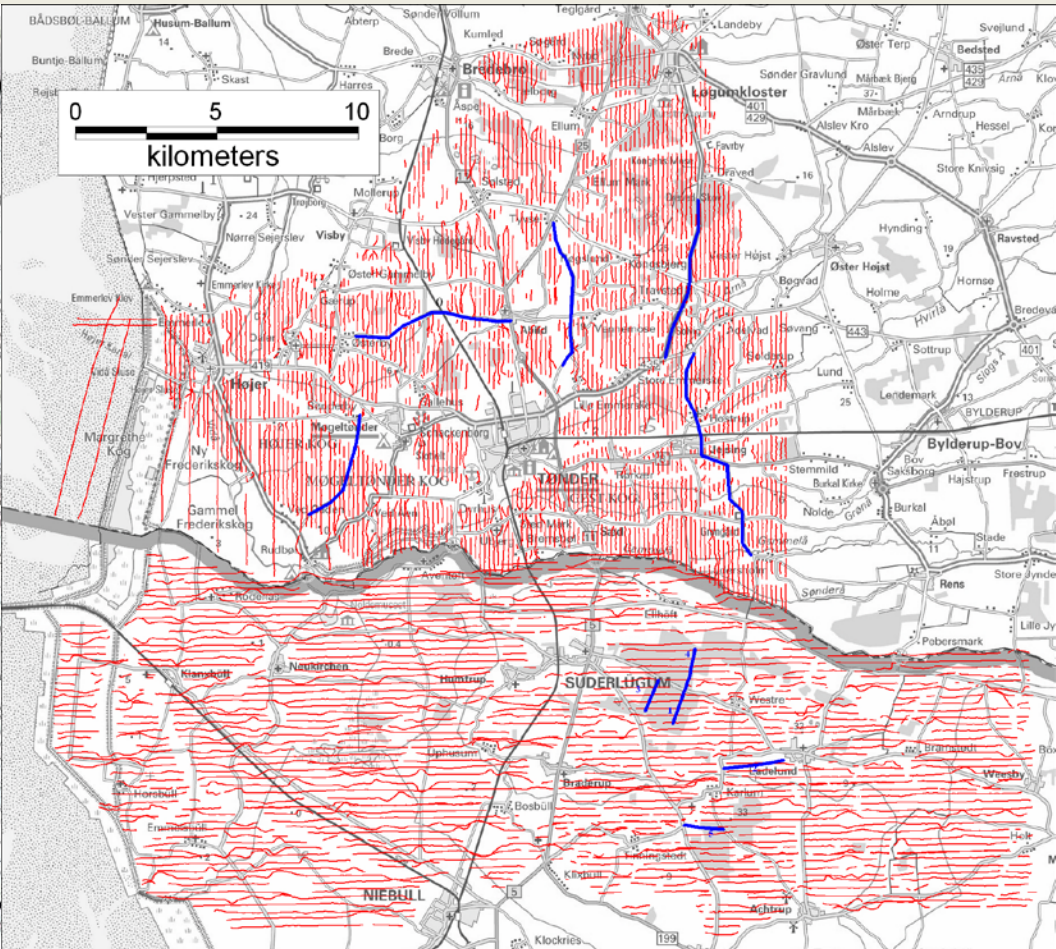
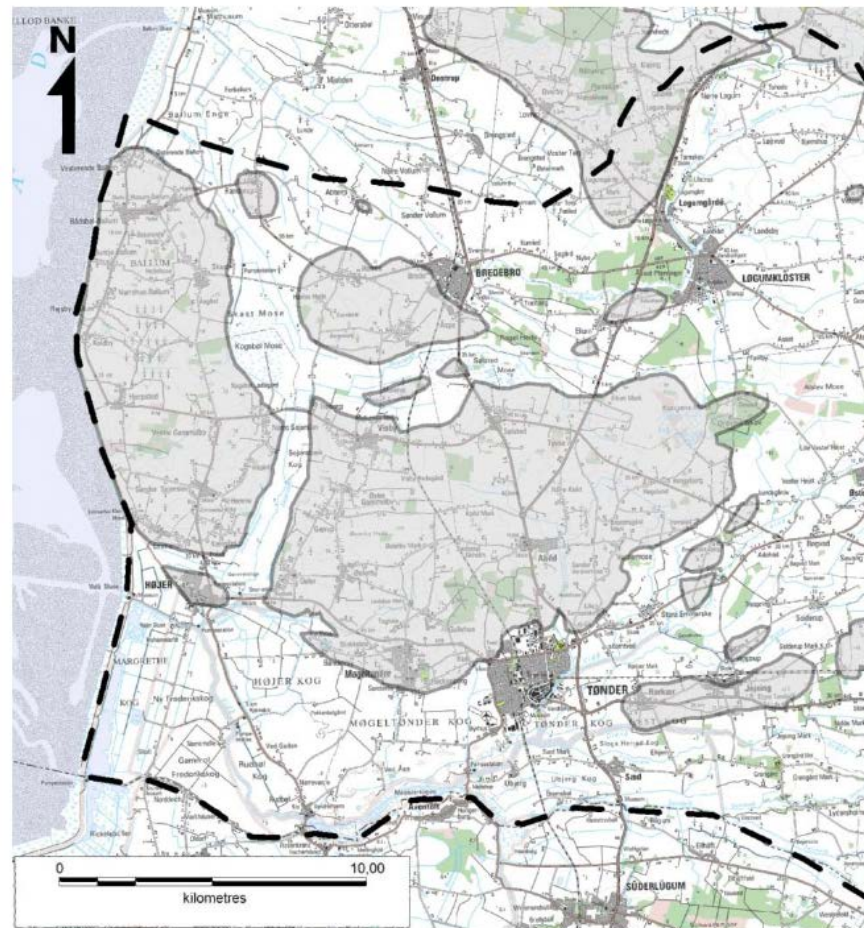
- Borehulsgeofysik (1D)
- Seismik (2D)
- TEM – SkyTEM (3D)
- MRS, PACES, MEP, Georadar, mm

SkyTEM

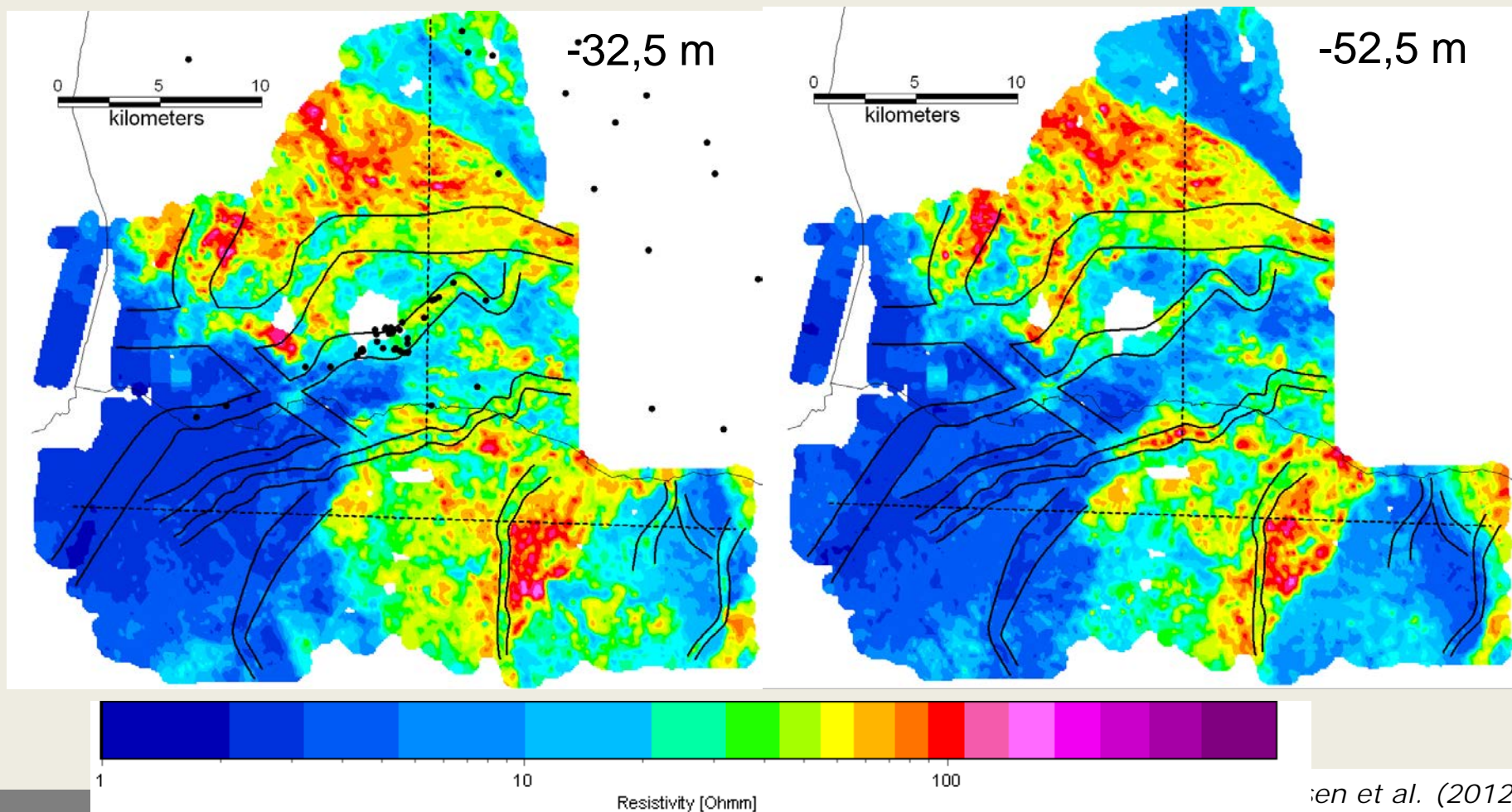
- Kortlægger undergrundens elektriske modstand (ρ)
- Sammenhæng mellem modstand og litologi



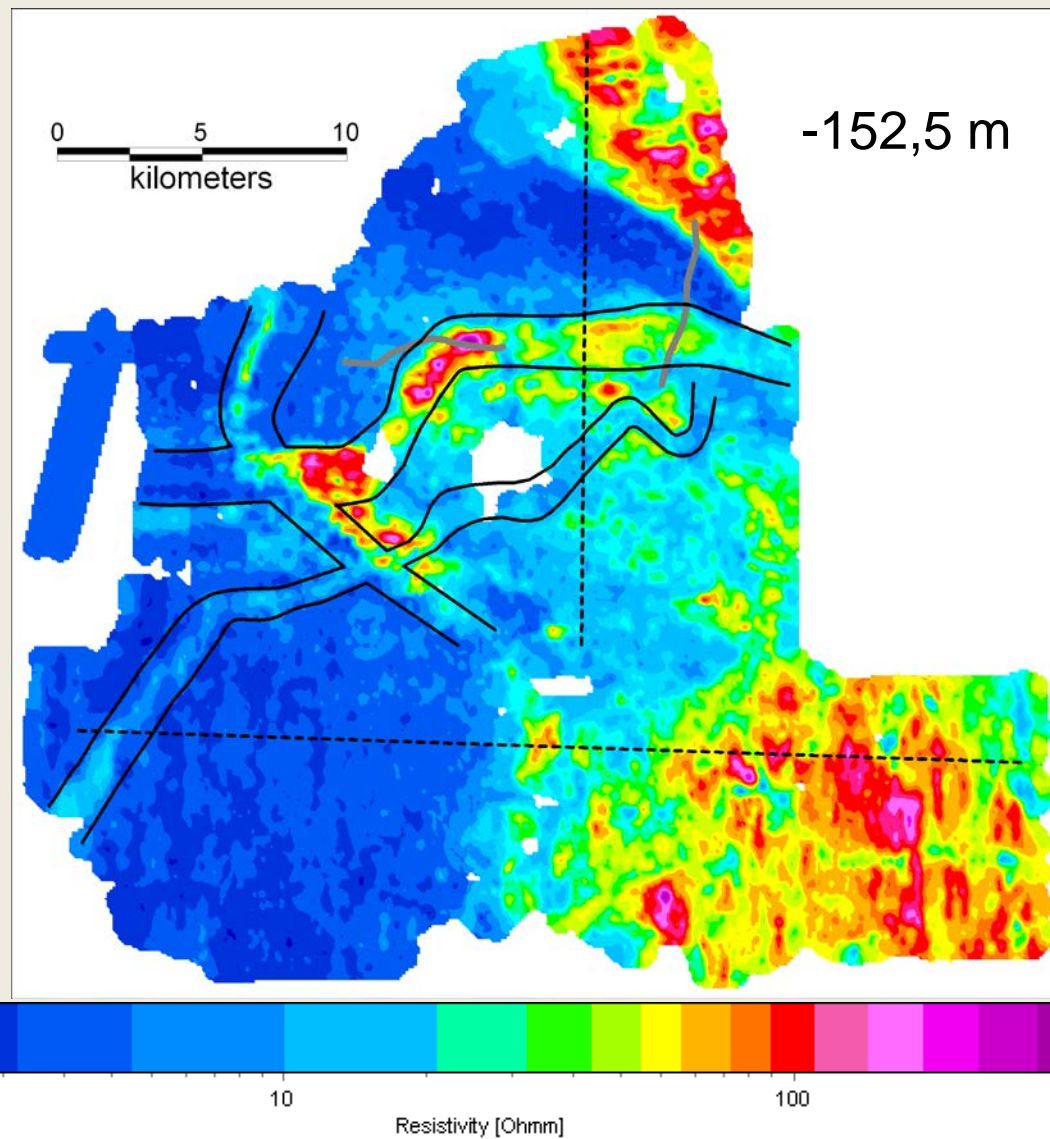
Tønder



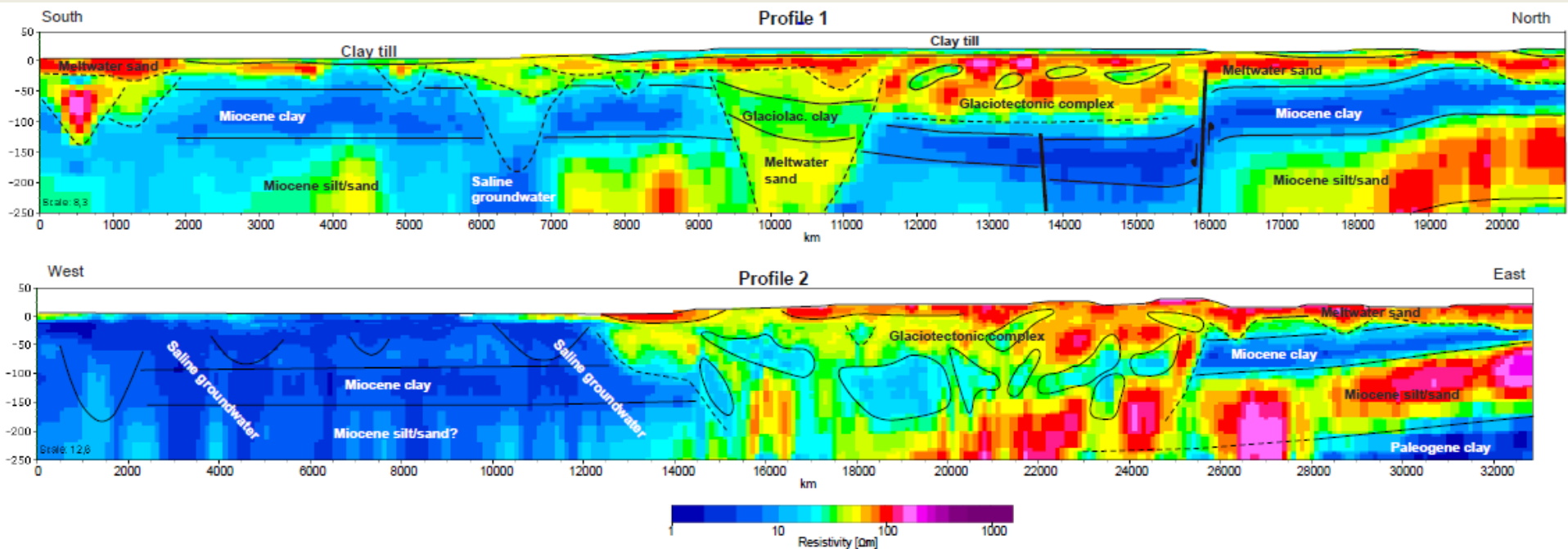
Resistivitets-fordeling



Resistivitets-fordeling

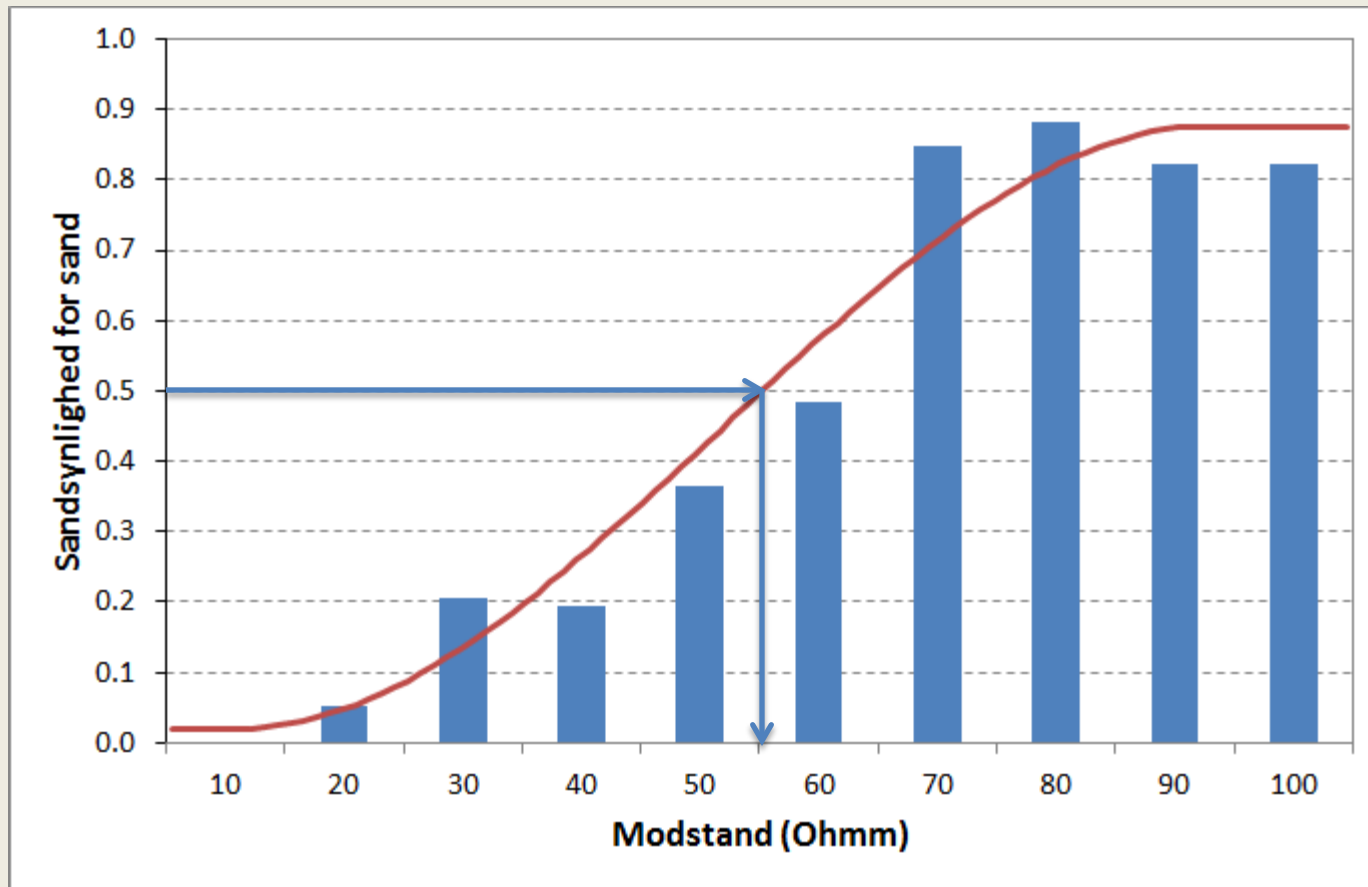


Resistivitets-fordeling



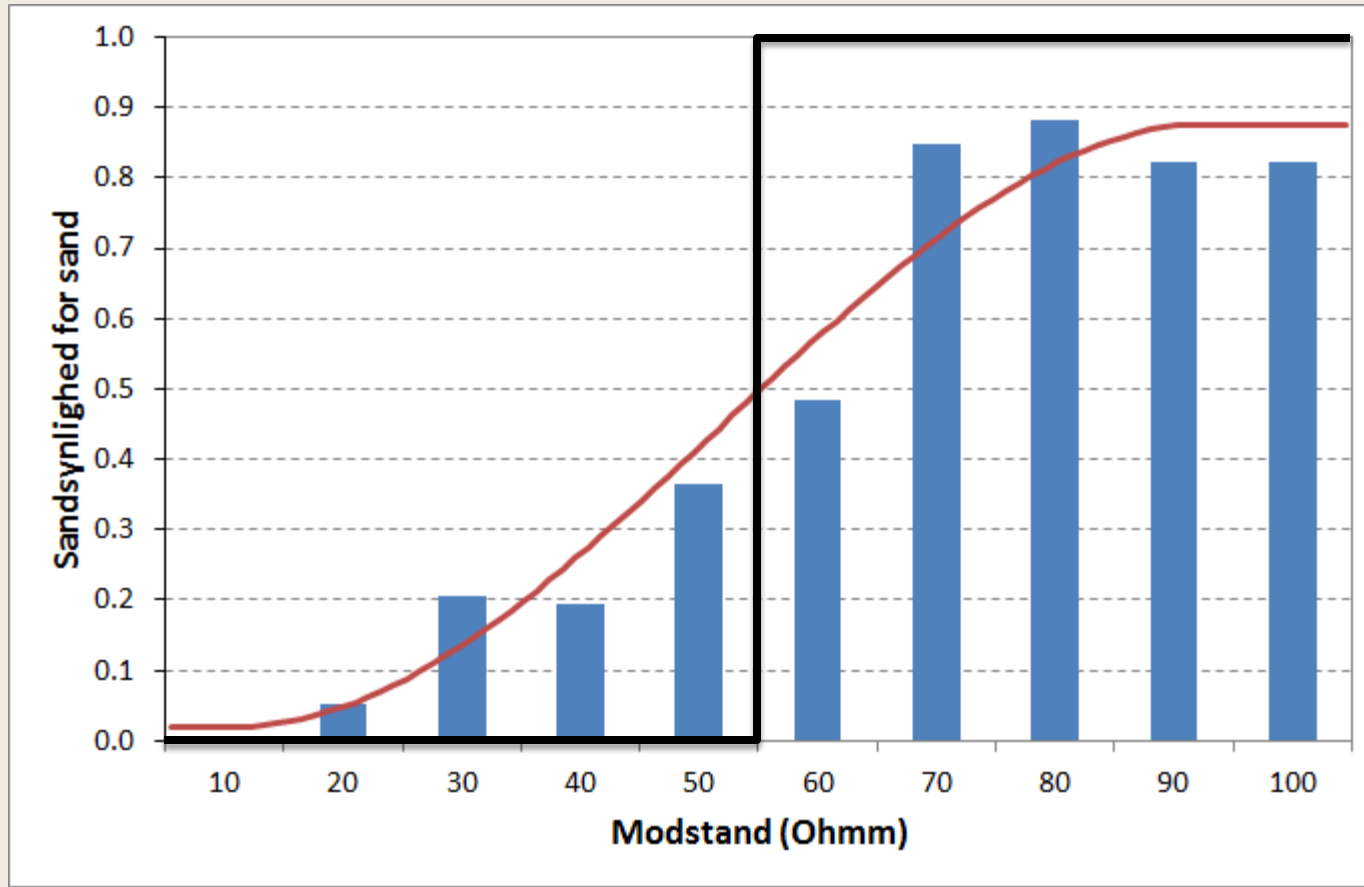
Tolkning i voxler (kasser)

- Automatisk tolkning



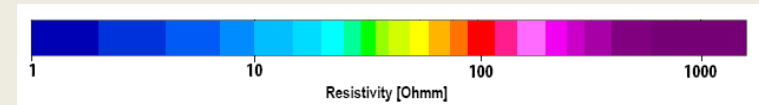
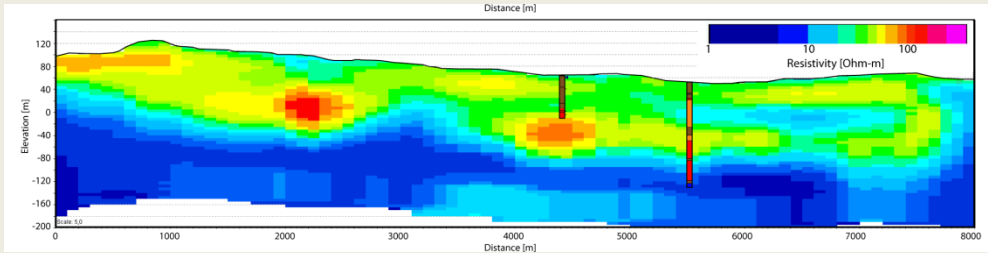
Tolkning i voxler (kasser)

- Automatisk tolkning



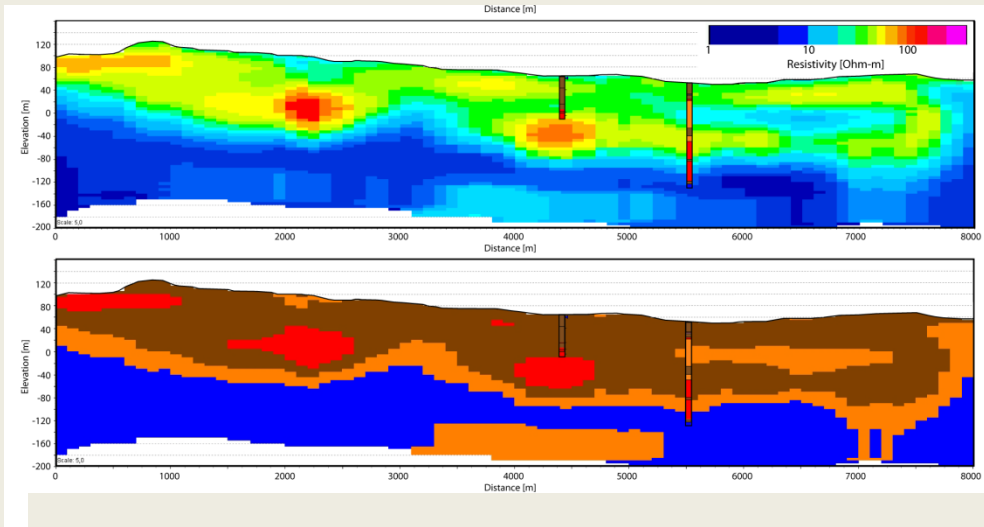
Manuel vs automatisk tolkning

Modstandsprofil med boringer

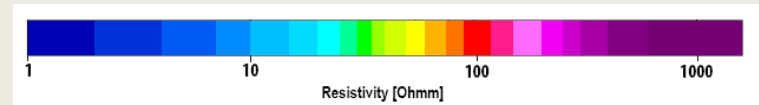


Manuel vs automatisk tolkning

Automatisk modellering/oversættelse

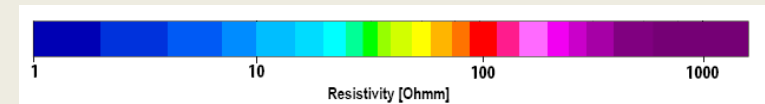
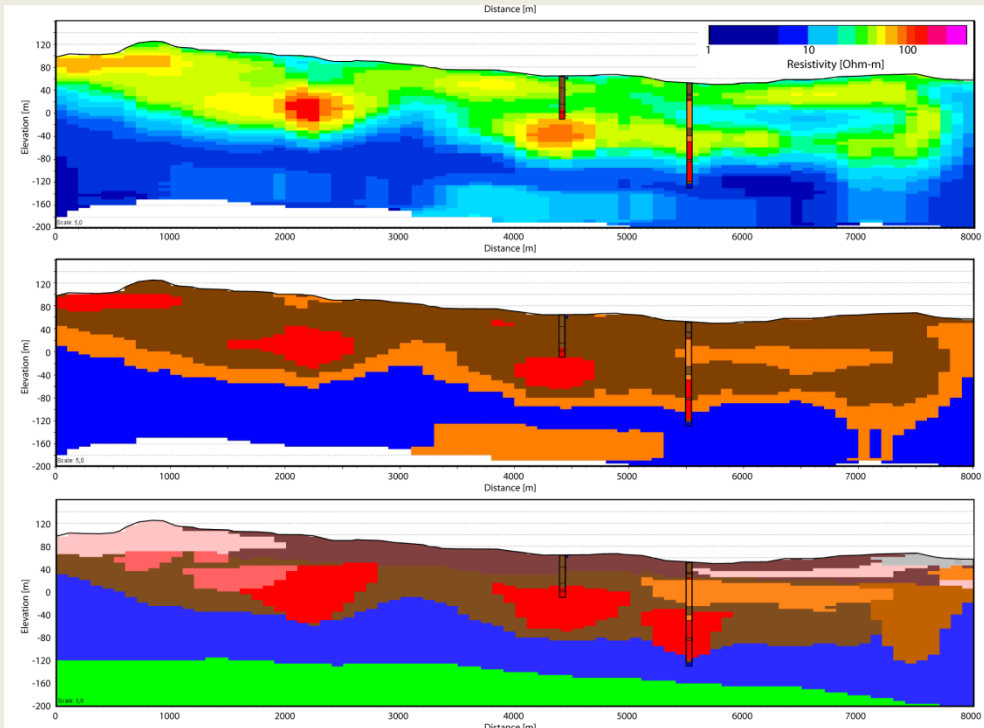


- < 8 ohmm = Palaeogen ler
- 8-25 ohmm = Smellevandsler
- 25-55 ohmm = Moræneler
- > 55 ohmm = Smellevandssand/grus



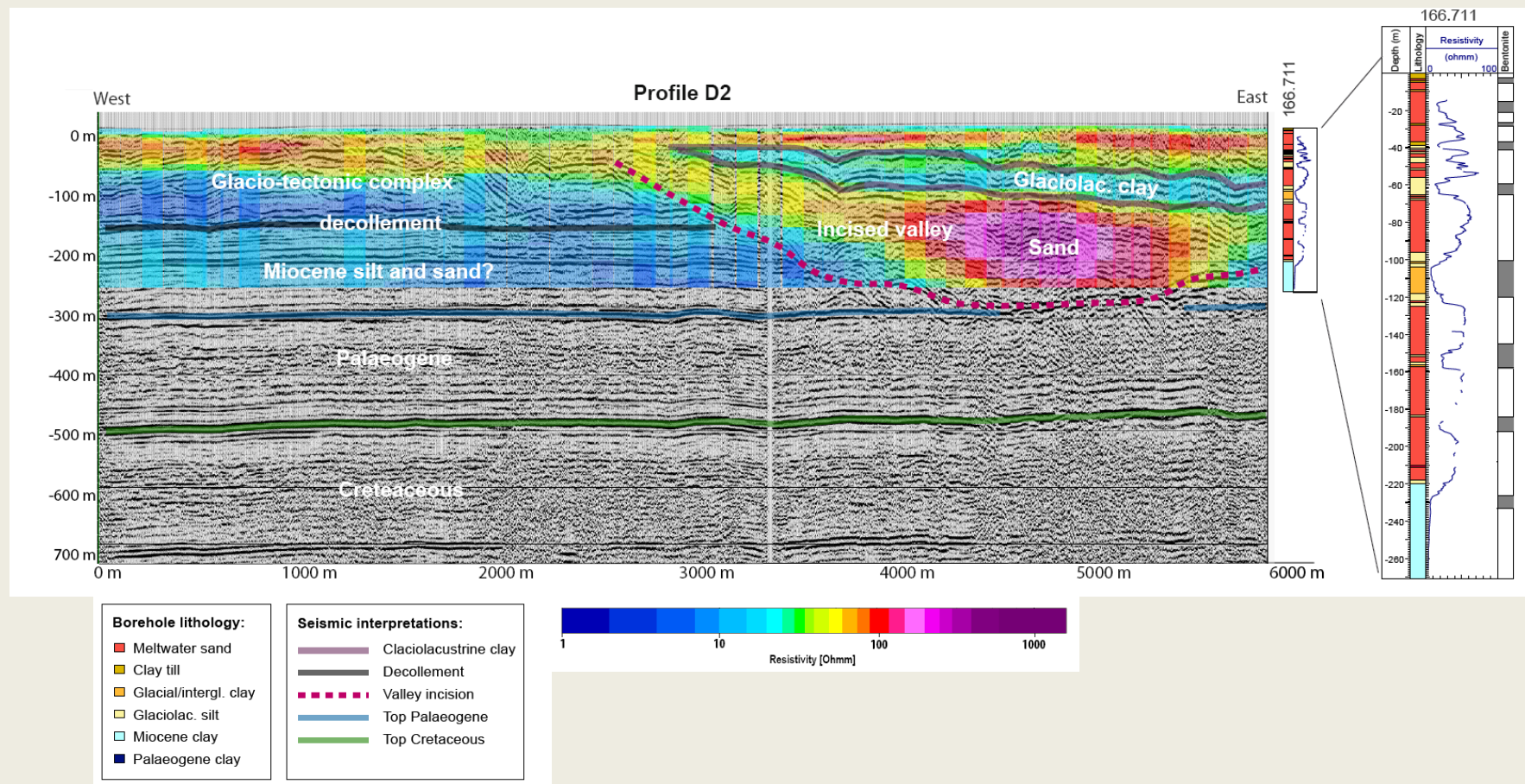
Manuel vs automatisk tolkning

Manuel (cognitiv) tolkning



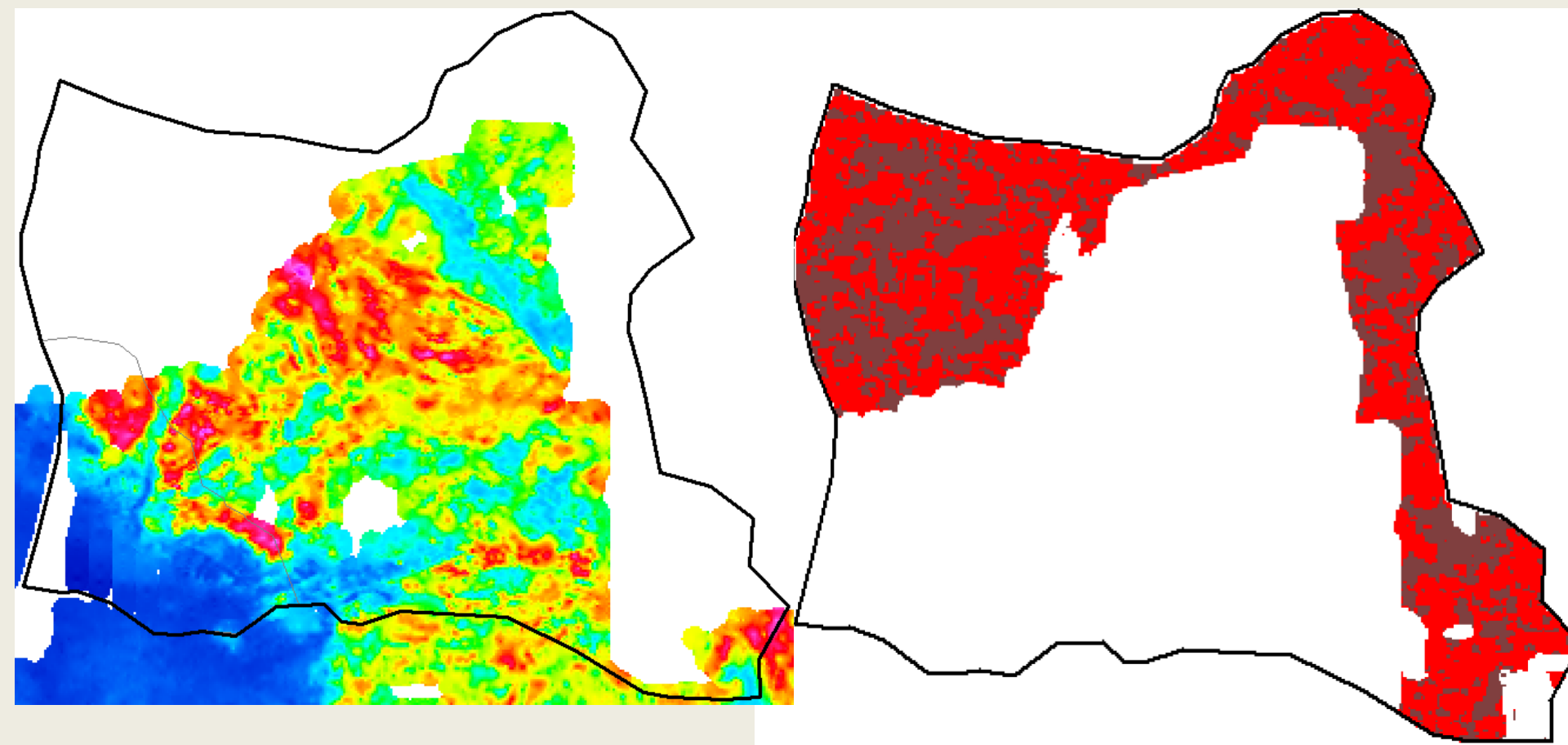
Manuel vs automatisk tolkning

Kombination af SkyTEM med andre datatyper



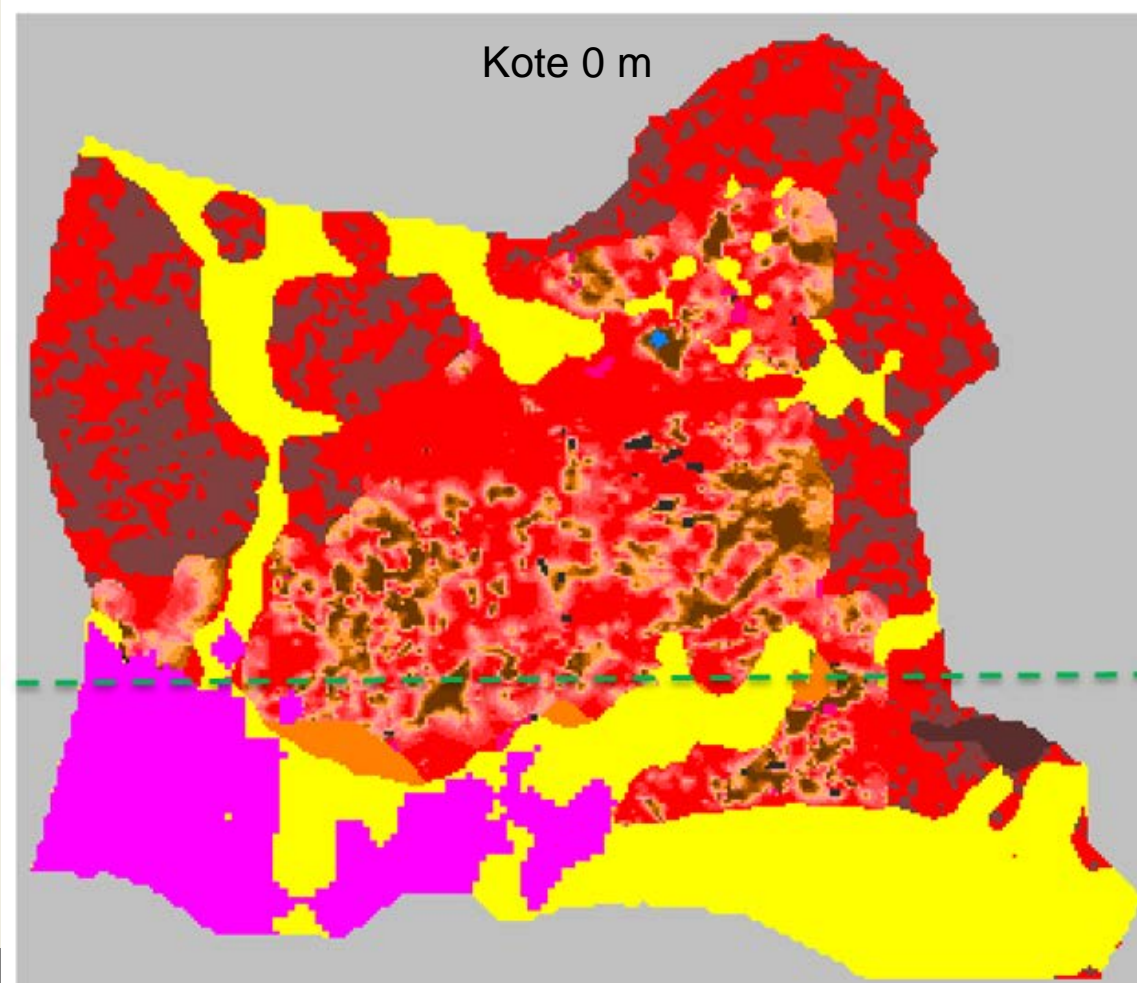
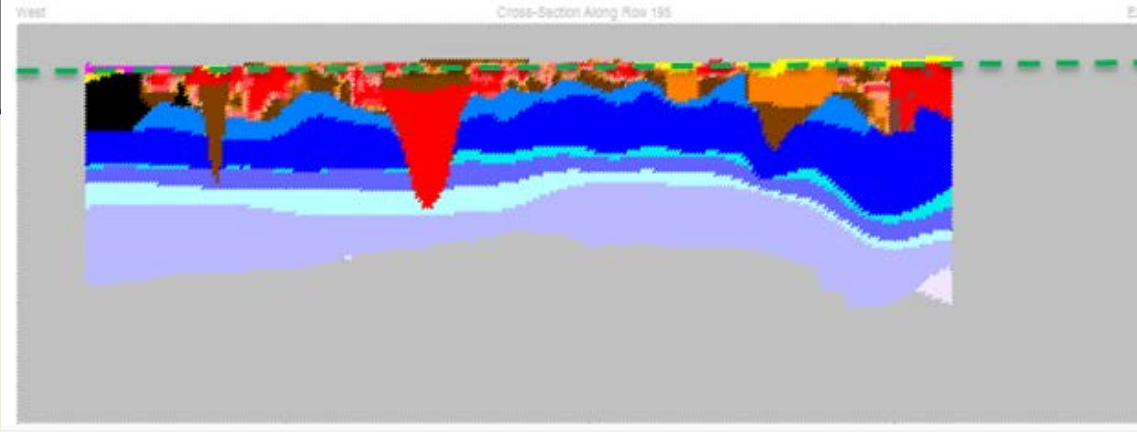
Jørgensen, F. et al. 2012: Transboundary geophysical mapping of geological elements and salinity distribution critical for the assessment of future sea water intrusion in response to sea level rise. *Hydrology and Earth System Sciences*, 1845-1862.

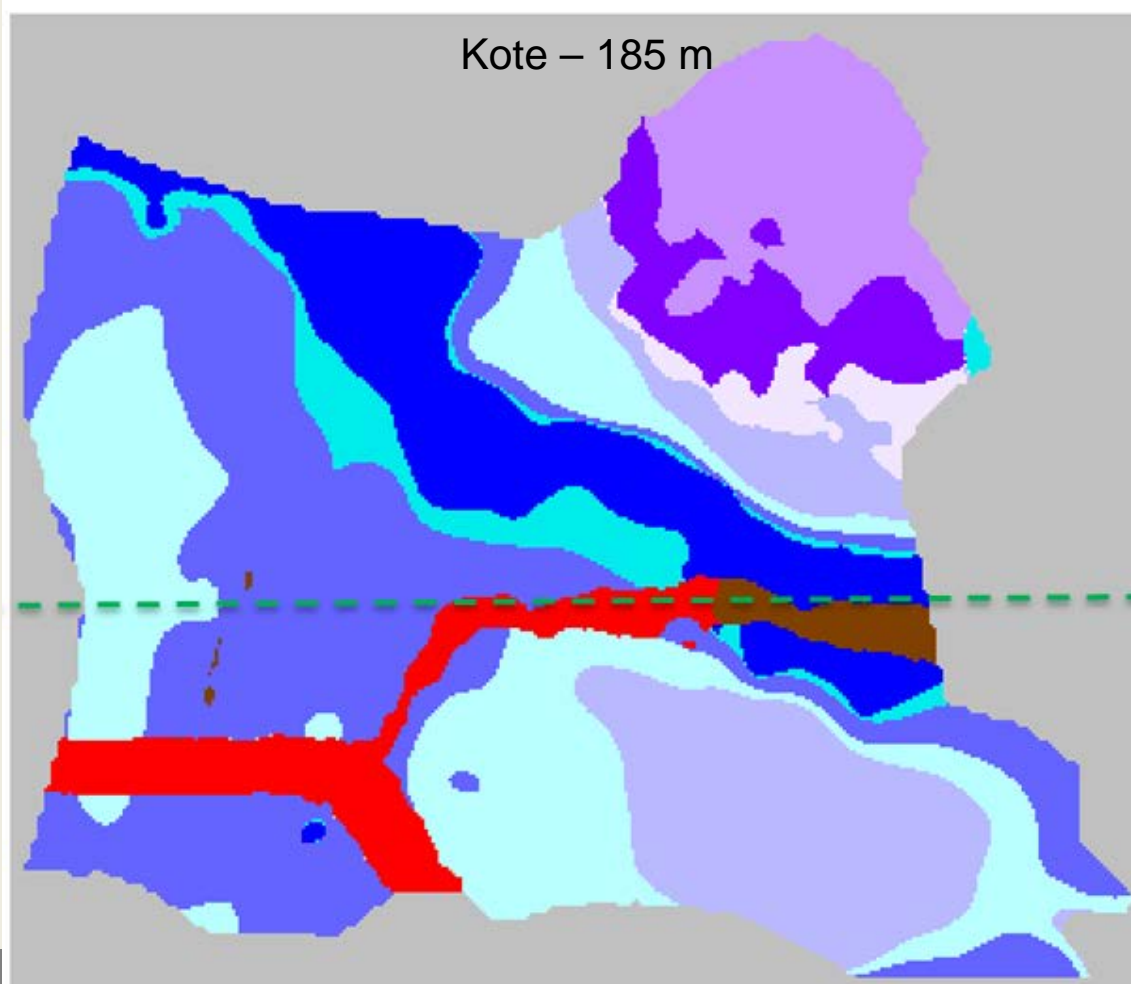
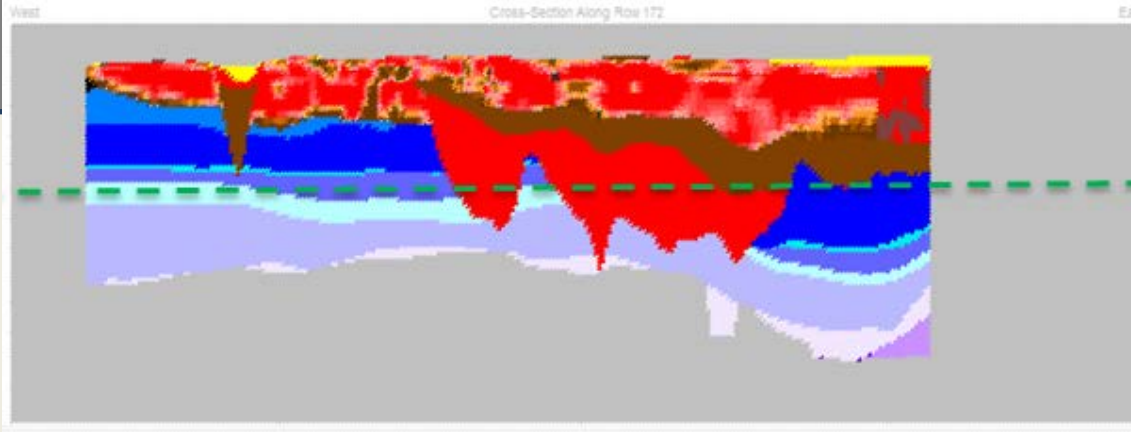
Resultat af voxelmodellering



Geologiske enheder

GV zoner	VALUE	CODE	Color	TEXT	GV zoner	VALUE	CODE	Color	TEXT
1		id		not defined voxel	21	578	AR3	Blue	Arnum_L3
2	2	SGL	Dark Red	SGEMS clay	22	579	OD2	Cyan	Odderup_S2
3	1	SGs	Red	SGEMS sand	23	580	AR2	Purple	Arnum_L2
4	401	SV10	Red	SSV 0-10%	24	585	KLI10		Klintinghoved_Clay_Upper_10
5	402	SV20	Red	SSV 10-20%	25	581	BAS	Purple	Bastrup_Sand
6	403	SV30	Red	SSV 20-30%	26	582	KLI9	Purple	Klintinghoved_Clay_Lower_9
7	404	SV40	Red	SSV 30-40%	27	601	qs	Magenta	Quaternary_Sand
8	405	SV50	Red	SSV 40-50%	28	602	ql	Black	Quaternary_Clay
9	406	SV60	Orange	SSV 50-60%	29	590	LG1_DS	Red	Abild_Valley_Sand
10	407	SV70	Orange	SSV 60-70%	30	591	Clay	Brown	Abild_Valley_Clay
11	408	SV80	Brown	SSV 70-80%	31	593	SAND	Red	Hoejer_Valley_Sand
12	409	SV90	Brown	SSV 80-90%	32	592	Clay	Brown	Hoejer_Valley_Clay
13	410	SV100	Brown	SSV_100%	33	595	Clay	Brown	Toender_Jejs_Valley_Clay
14	571	PG	Magenta	Post_glacial	34	596	SAND	Red	MoegelToender_Valley_Sand
15	572	PS	Yellow	Sandur	35	597	Clay	Brown	MoegelToender_Valley_Clay
16	573	SG		Late_glacial	36	599	SAND	Orange	Toender_Jejs_Valley_Sand_Upper
17	574	EM	Dark Green	Eem	37	603	QsedSA	Blue	QuartenarySediments_Saltwater
18	586	MADe	Light Blue	MaadeGroup_deforme	38	598	SAND	Red	LoegumKloster1_Valley_Sand
19	576	MA	Dark Blue	MaadeGroup	39	622	Q_MC	Dark Brown	Q_MC
20	577	OD3	Cyan	Odderup_S3	40	625	SAND	Red	MoegelToender Valley Upper Sand

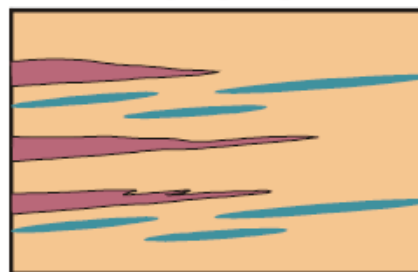




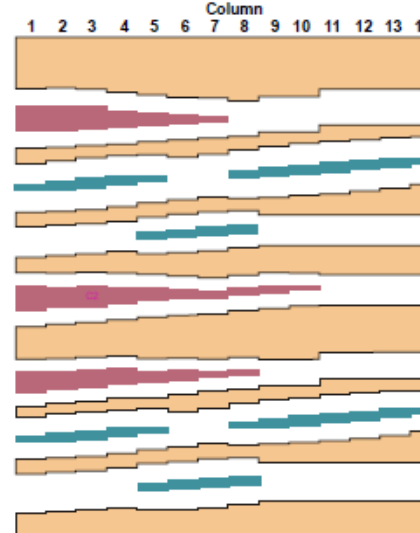
Tolkning i voxler

- Grundvandsmodel
 - MODFLOW
 - MIKE SHE

Define Hydrogeologic Units



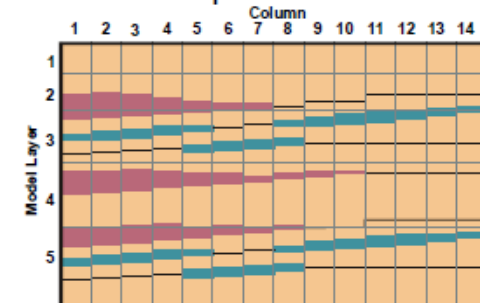
Discretize Hydrogeologic Units for HUF



Explanation

- Orange: Coarse-Sand Unit
- Purple: Silt Unit
- Teal: Fine-Sand Unit

HUF Imposes Model Grid



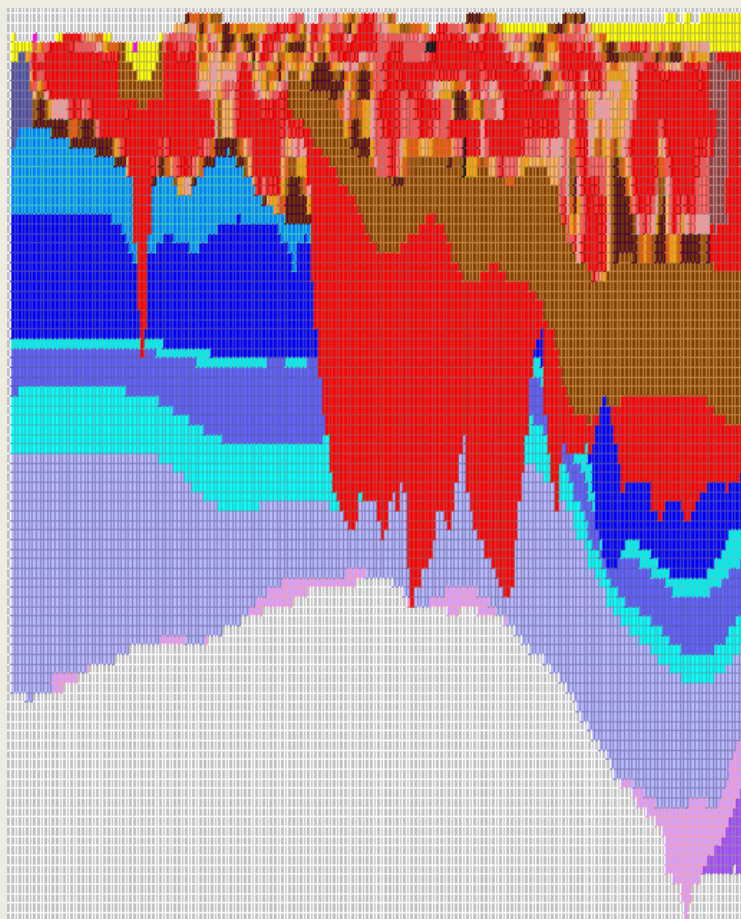
Hydrogeologisk model

- I alt 3,973,000 voxler fordelt på 40 geologiske enheder
- Reduceret til 8 hydrogeologiske enheder

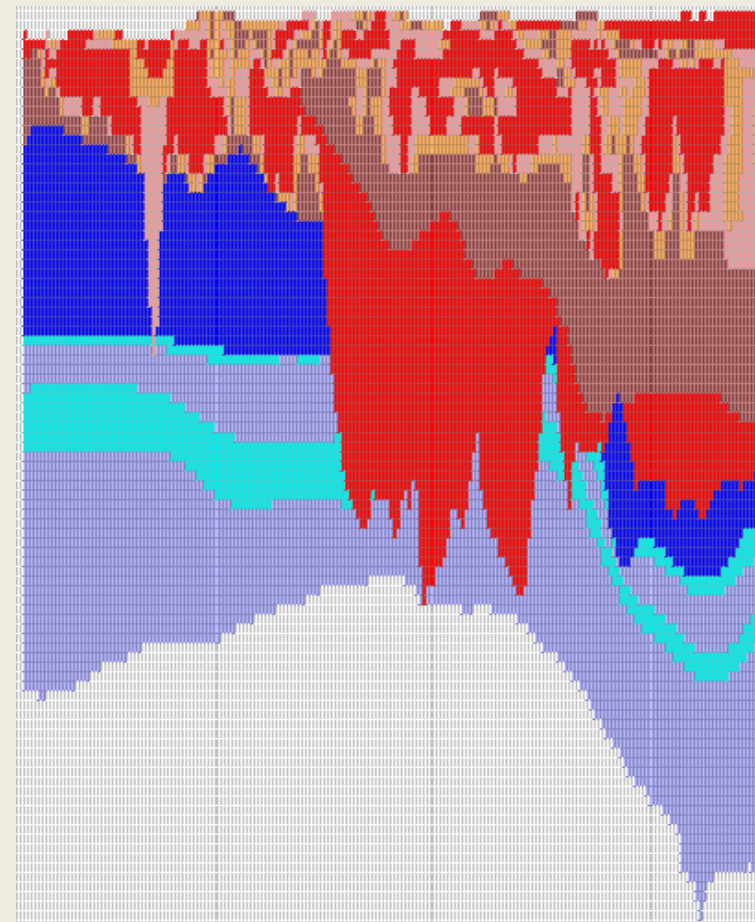
	Kvartært ler		Prækvartært ler		Kvartært sand		Prækvartært sand	
Enhed	1: QCH	2: QCL	3: PCH	4: PCL	5: QSH	6: QSL	7: PSH	8: PSL
Antal voxler	293.573	184.773	1.476.399	652.820	407.059	365.011	116.329	478.043

Hydrogeologisk model

Geologisk model

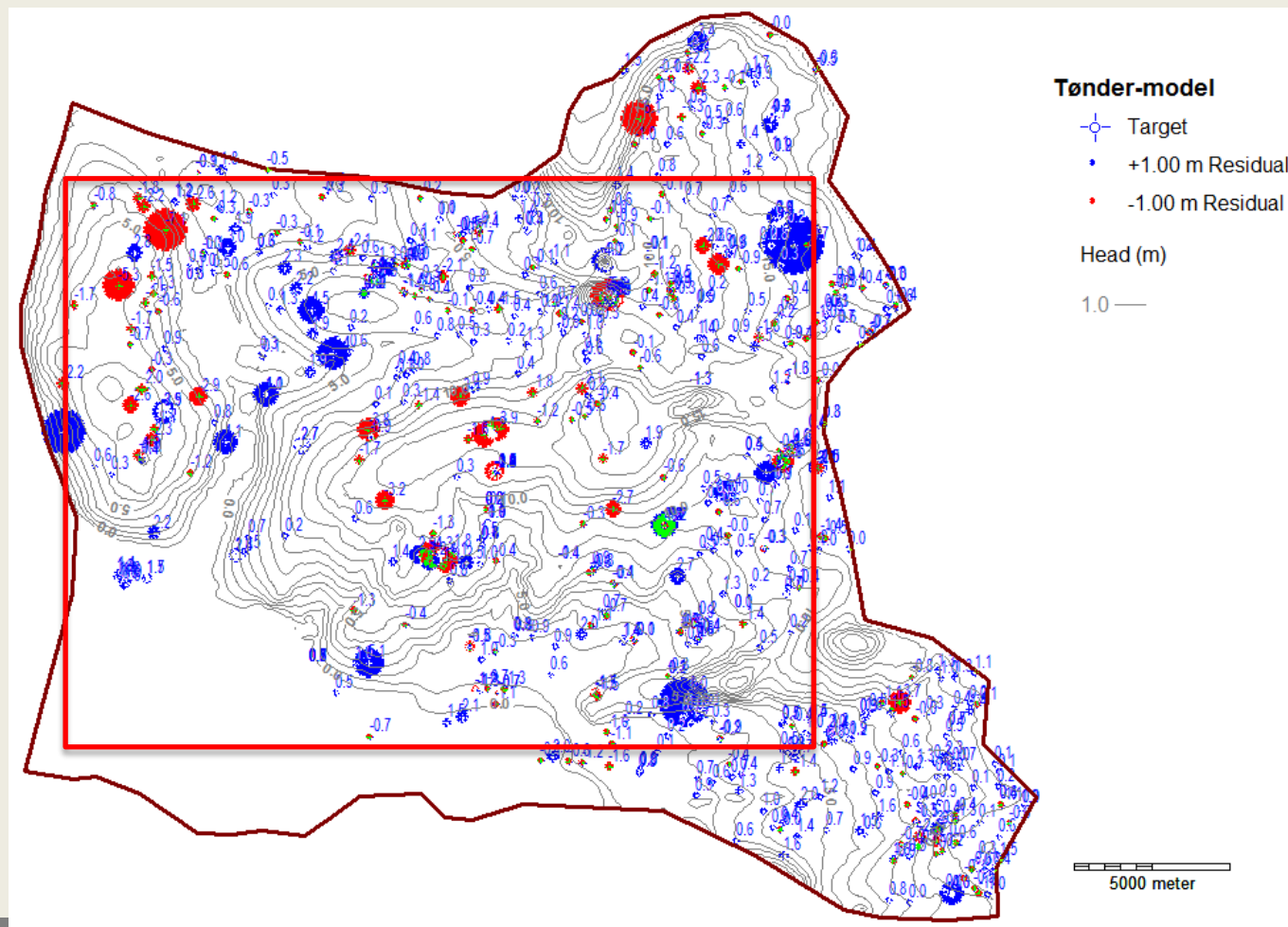


Hydrogeologisk model

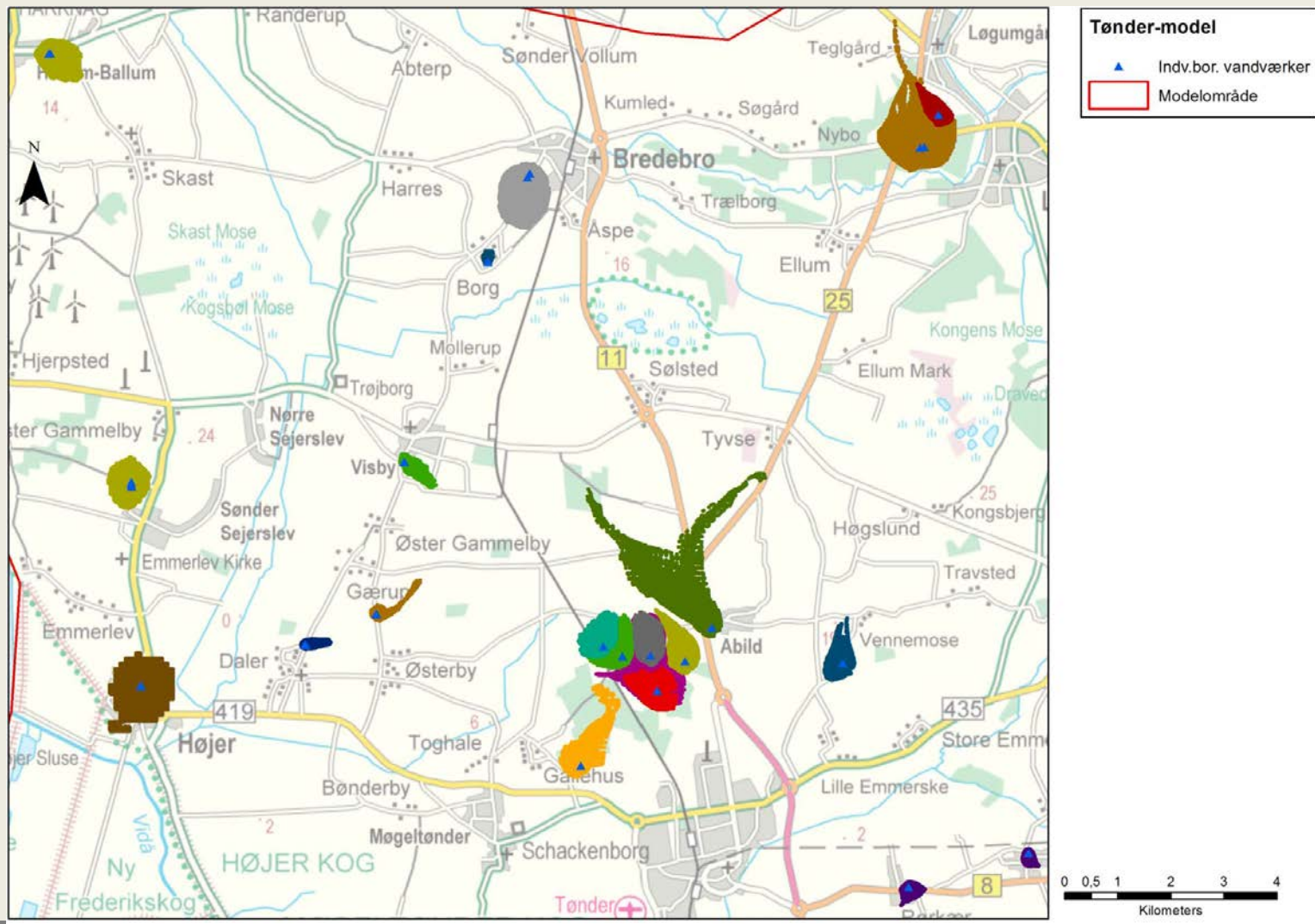


Kalibrering

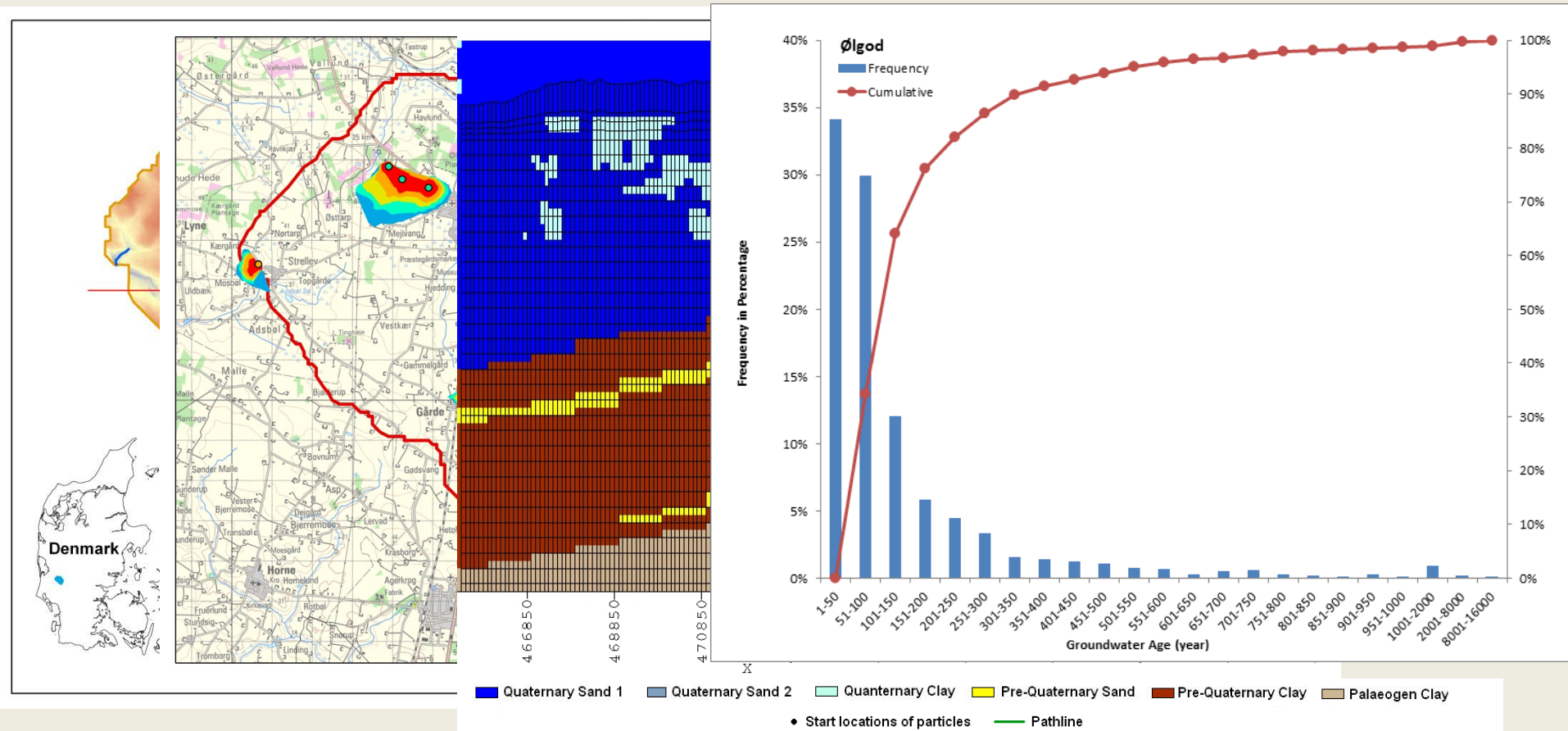
- Observeret – beregnet grundvandsstand



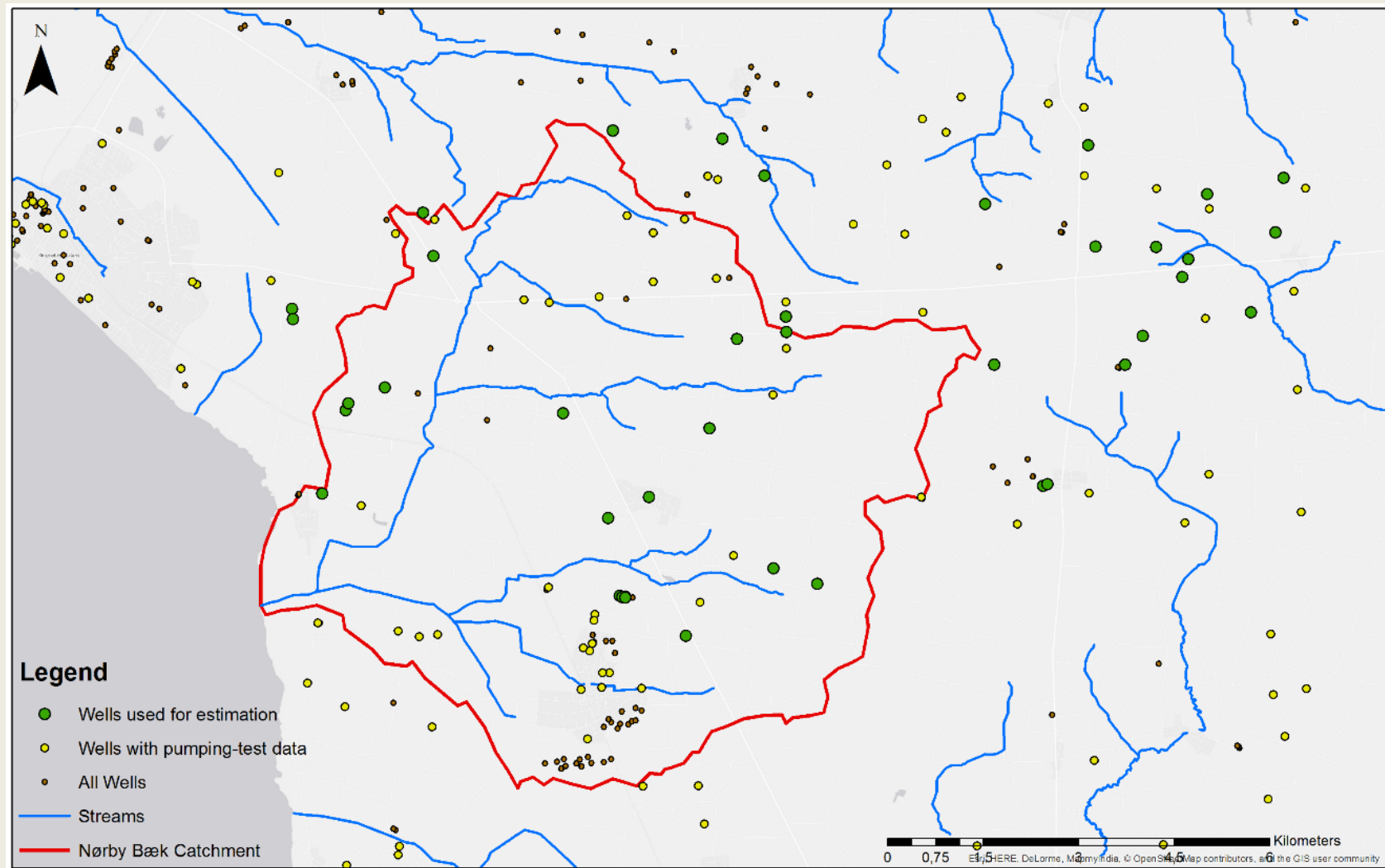
Indvindingsoplande - Tønder



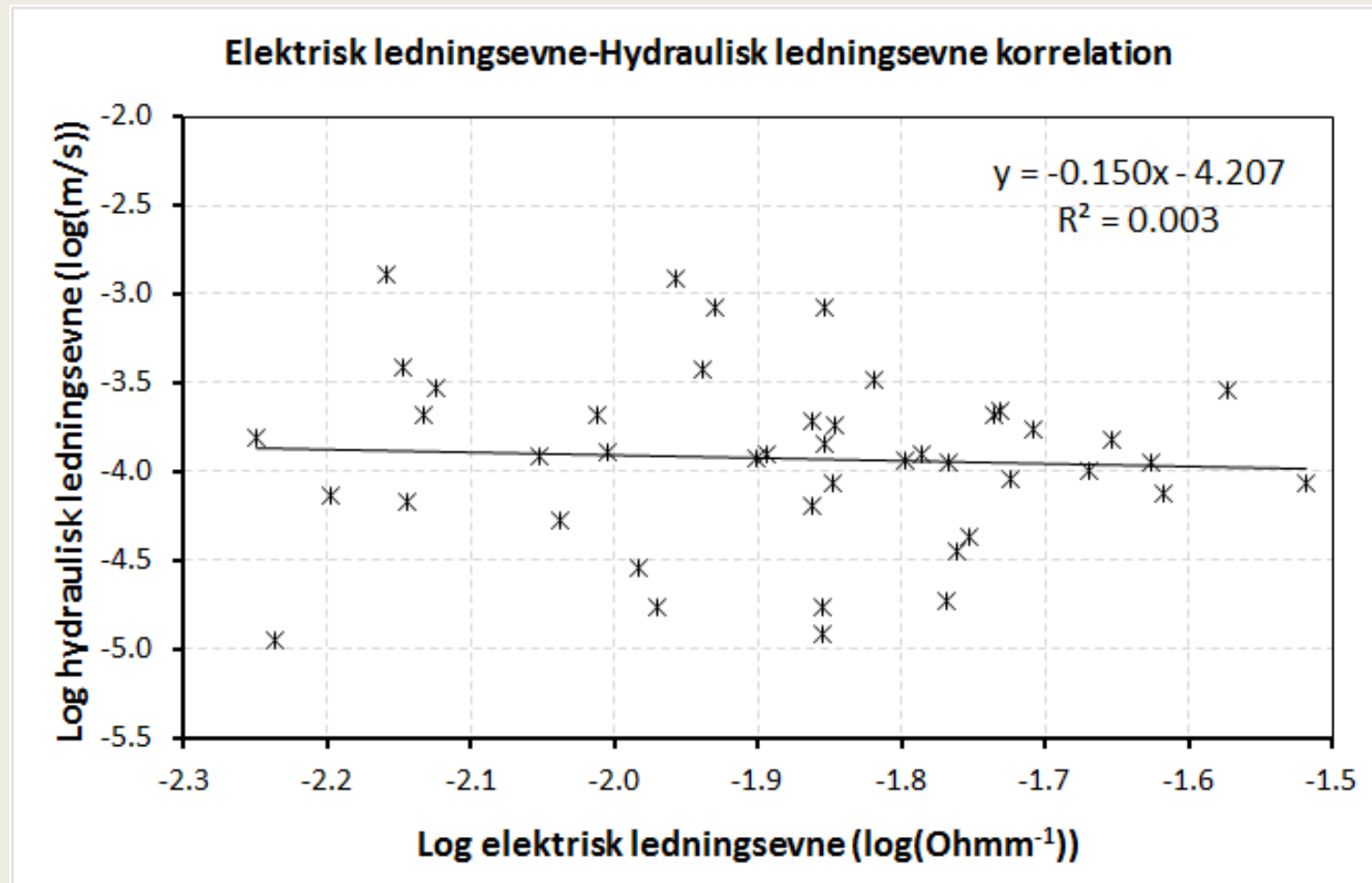
Indvindingsoplande - Ølgod



Sammenhæng mellem ρ og K



Sammenhæng mellem ρ og K (sand)



Konklusion

- Voxel-metode udnytter informationen i geofysik data bedre end lagmodellering
- Giver bedre beskrivelse af geologi – specielt heterogenitet beskrives bedre
- Heterogenitet vigtig for strømningsveje
- Vigtig for udpegning af sårbare områder
- Forudsætter høj densitet af data (eller statistisk model)
- Sammenligning af lagmodel og voxelmodel mangler